

بررسی شواهد تشکیل دوپلکس ترافشارشی در باختر شهرود، البرز خاوری

علی رادفر^۱ و عزیز رحیمی^(۲)

- دانشجوی دکتری، گروه زمین‌شناسی، دانشکده علوم، دانشگاه گلستان، گرگان
- استادیار، گروه زمین‌شناسی، دانشکده علوم، دانشگاه گلستان، گرگان

تاریخ دریافت: ۹۷/۰۸/۰۶

تاریخ پذیرش: ۹۷/۱۲/۰۷

چکیده

منطقه مورد مطالعه در مرز جنوبی البرز خاوری و در حدود سطح گسل‌های شمال شهرود و آستانه قرار گرفته و دارای رخنمون‌هایی با محدوده سنی پالئوزوئیک تا عهد حاضر می‌باشد. بررسی‌های ساختاری متعددی از قبیل تحلیل هندسی چین‌ها و تحلیل هندسی و حرکتی گسل‌ها در منطقه صورت گرفته است. داده‌های صحرابی و تحلیل‌های نرم‌افزاری نشان می‌دهد که اکثر چین‌خوردگی‌ها در بخش خاوری منطقه دارای محورهای شمال‌خاوری-جنوب‌باختری و در بخش باختری دارای محورهای خاوری-باختری می‌باشند. چین‌های کوچک مقیاس نیز به دلیل قرار گرفتن در فرادیواره گسل رانده طزره، ساختارهای مرتبط با گسل‌ش هستند. چین‌های بزرگ مقیاس با داشتن سطح محوری متمایل به جنوب‌خاوری با ساختار گل مانند در نظر گرفته شده برای البرز مطابقت دارند. همچنین گسل‌های موجود در منطقه دارای دو روند شمال‌خاوری-جنوب‌باختری برای خاور منطقه و خاوری-باختری در باختر منطقه بوده و به نحوی آرایش یافته‌اند که به منطقه، آرایش فلسفی داده‌اند. با توجه به وجود ساختارهای فشارشی می‌توان پیشنهاد کرد که دوپلکس فشارشی دهملا در ارتباط با گسل‌ش امتدادلغز در حدفاصل گسل‌های شهرود و آستانه توسعه یافته است.

واژه‌های کلیدی: دوپلکس فشارشی، منطقه ترافشارشی، سامانه گسلی شهرود، گسل آستانه، البرز خاوری.

مقدمه

آشکاری بین بخش شمالی منطقه (البرز) و بخش جنوبی آن (ایران مرکزی) وجود نداشته و به بیان ساده‌تر بخش شمالی منطقه (حاشیه جنوبی البرز) در واقع چین‌های حاشیه ایران مرکزی هستند (آقانباتی، ۱۳۸۳). مرز بین البرز و ایران مرکزی از نظر ساختاری دارای پیچیدگی‌های فراوان بوده که از آن جمله می‌توان به وجود دوپلکس فشارشی چشم در بین گسل‌های آستانه و فیروزکوه (باقری و همکاران، ۱۳۸۵) اشاره کرد، که این دوپلکس در ارتباط با گسل‌ش امتدادلغز به وجود آمده‌است. لازم به ذکر است که گسل

منطقه مورد مطالعه در شمال دهستان دهملا و در ۲۰ کیلومتری باختر شهرود و به عبارت دیگر در دامنه‌های جنوبی ارتفاعات البرز خاوری قرار گرفته است (شکل ۱). لذا از نگاه زمین‌شناسی به دو پهنه ساختاری البرز و ایران مرکزی تعلق دارد. داده‌های منطقه بهویژه مقایسه خصوصیت‌های زمین‌شناسی نواحی واقع در جنوب البرز و شمال ایران مرکزی نشان می‌دهد که تفاوت‌های زمین‌شناسی چندان

* نویسنده مرتبط: A.Rahimi@gu.ac.ir

شمالي-خاوری بر روی ساختارهای خاوری-باخته البرز مرکزی تشخیص دادند. (Zanchi et al. 2006) بر اساس مطالعات پیشین و مشاهدات خود، پیشنهاد کردند که البرز مرکزی در هنگام برخورد در قسمت جنوبی منطقه زمین درز قرار داشته و در هنگام برخورد به صورت منطقه پیش Guest et al. (2006a, b) بومی پایدار عمل کرده است.

نیز مطالعاتی بر روی البرز انجام داده و برخورد صفحه عربی و حاشیه فعال ایران-ترکیه را به میوسن میانی نسبت می‌دهند. ایشان همچنین در این مطالعات مدل طاقگون مرکب با تغییر شکل پوسته نازک برای البرز را رد کرده و با نظر Allen et al. (2003a) مبنی بر ساختمان گل مانند ترافشارشی چپبر با تغییر شکل پوسته نازک و پوسته Ghavidel-Syooki (2006) خصیم، هم عقیده می‌باشند. (بر روی چینه‌شناسی و جغرافیای دیرینه کامبرو-اردویسین کوه خربش مطالعاتی انجام داد و وجود دو نبود چینهای را در اردویسین میانی (بین سازندهای لشکر و قلی) و در سیلورین تا دوونین میانی (بین سازندهای قلی و جیروود) تشخیص داد. وی این نبودهای چینهای را به کوهزاری کالدونین نسبت داد. همچنین بر اساس مقایسه آکریتارک‌های موجود در سازند میلا، قلی و لشکر با آکریتارک‌های دیگر مناطق دنیا، بیان کرد که البرز در طول اردویسین بخشی از گندوانا بوده است. (Hollingsworth et al., 2008, 2010) با هدف بررسی زمین‌ساخت فعل البرز خاوری، مطالعاتی را بر روی منطقه دامغان انجام داده و شرایط مورفوژئیکی منطقه را حاصل خمشهای موجود در صفحات سامانه گسلی شاهروod دانستند. ایشان همچنین، میزان جابه‌جایی را برای منطقه به صورت چپبر و در حدود ۳۰ کیلومتر برآورد کردند.

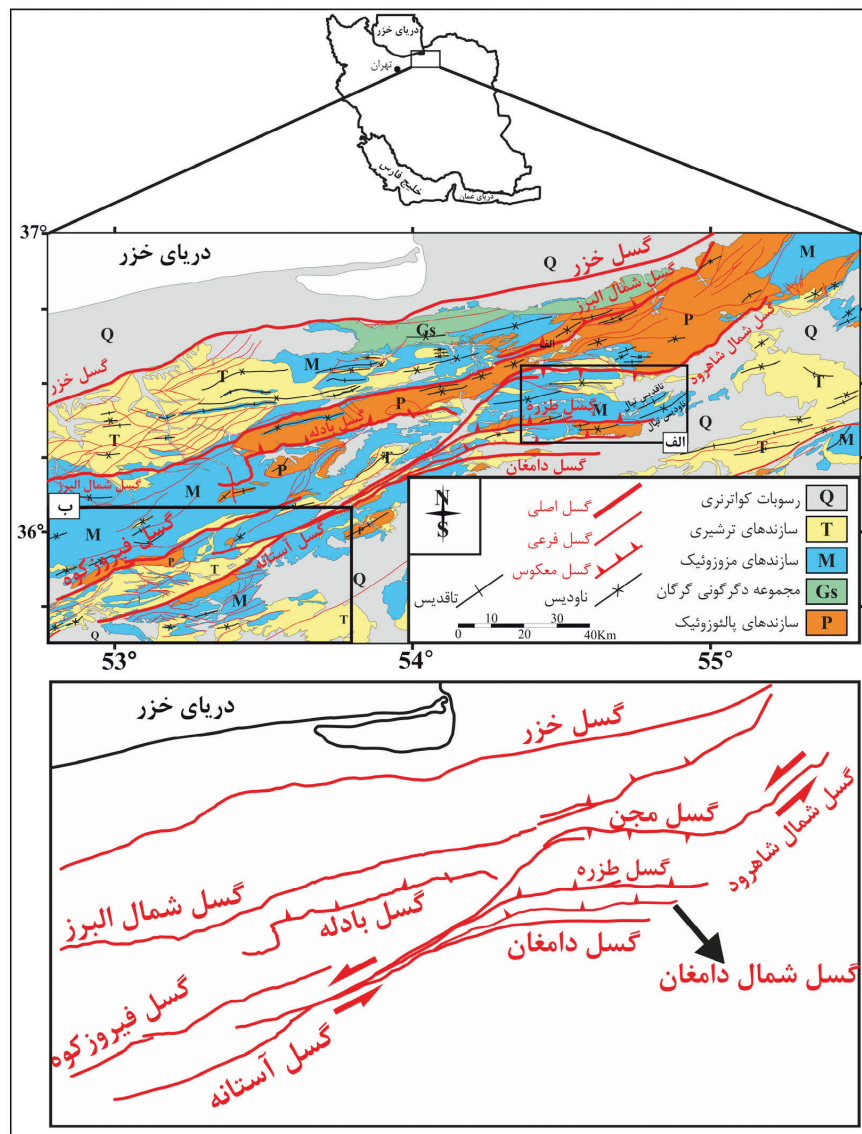
منطقه از نظر چینه‌شناسی دارای توالی‌های با سن مختلف از پالئوزوئیک تا رسوبات عهد حاضر بوده (شکل ۱) که این آرایش در نتیجه پهنه‌های فشارشی و عملکرد گسل‌های رانده موجود در حاشیه جنوبی البرز و رانده شدن سنگ‌هایی با سن پالئوزوئیک و مژوزوئیک بر روی نهشته‌های عهد حاضر ایجاد شده است (Ghavidel-Syooki, 2006).

همچنین منطقه از دیدگاه فعالیت زمین‌ساختی نیز در گروه ایران مرکزی و حوضه خزر جنوبی، و دوم، کوتاه شدگی مورب

آستانه در بخش خمیدگی خاوری-باخته خود با حرکت چپبر سازندهای پالئوزوئیک را در حدود ۲۵ کیلومتر جابجا کرده است (Allen et al., 2003a) (داخل مستطیل الف در شکل ۱). در این مقاله سعی شده تا با بررسی ساختارهای مربوط به دوپلکس دهملا، این منطقه را از نظر هندسی و جنبشی مورد تجزیه و تحلیل قرار دهیم.

پیشینه تحقیق و زمین‌شناسی منطقه مورد مطالعه

برای اولین بار مدل ساختاری البرز را Stöcklin (1968) معرفی نمود و در آن البرز را به شکل ناویدیس فرض کرد و بر آن اساس در سال ۱۹۷۴ اولین مقطع عرضی مستند از البرز را ارائه داد. (Sengör (1990) از همین مدل برای نشان دادن البرز به صورت یک ساختمان گل مانند نامتقارن با تمایل به سمت جنوب استفاده کرد. Alavi (1996) با پیشنهاد مدلی دیگر البرز را از نظر ساختاری یک کمریند چین و گسل خورده پوسته نازک فرض کرد که متشکل از ورقه‌های رورانده و دوپلکس‌های متعدد بوده و باعث ایجاد یک طاقگون مرکب شده است. (Axen et al. 2001) با بررسی گسل‌های رانده موجود در البرز، این مجموعه را همچون شنگور به صورت یک ساختمان ترافشارشی گل مانند با تمایل به سمت جنوب تفسیر کرده و دلیل تمایل این ساختمان به سمت جنوب را، رانده شدن یک پوسته قاره‌ای شناور از سمت جنوب به زیر البرز می‌دانند. (Jackson et al. 2002) و همچنین (Allen et al. 2003a) البرز را به صورت یک کمریند ترافشارشی چپبر در نظر گرفته و این سازوکار را حاصل تقسیم شدن لغزش در بین گسل‌های امتدادلغز چپبر و گسل‌های رانده دانسته و همچنین حالت موج دار البرز را در نتیجه زیر-راندگی پوسته اقیانوسی حوضه خزر جنوبی به زیر حوضه خزر مرکزی می‌دانند. (Vernant et al. 2004a, b) مطالعاتی را توسط سامانه موقعیت‌یاب جهانی بر روی البرز انجام داده و مشخصات و سرعت حرکت و کوتاه شدگی را برای البرز به دست آورده و بر همین اساس برای البرز دو فاز دگرشکلی، اول فاز فشاری شمالی-جنوبی در میوسن بین ایران مرکزی و حوضه خزر جنوبی، و دوم، کوتاه شدگی مورب



شکل ۱. نقشه زمین‌شناسی البرز شرقی، محدوده مورد مطالعه در مستطیل الف نشان داده است. دوپلکس فشارشی چشم (باقری و همکاران، ۱۳۸۵) در مستطیل ب واقع در جنوب‌خاوری تصویر مشخص شده است (برگرفته با تصحیح‌هایی از چهار نقشه ۱/۲۵۰۰۰۰ گران، ساری، سمنان و ترود)

مناطق فعال با گسل‌های دارای روند شرق‌شمال‌شرقی- غرب‌جنوب‌غربی (Shahpasandzadeh et al., 2017) و سازوکار چپبر با کمی مؤلفه معکوس می‌باشد (نعمتی و همکاران، ۱۳۹۱؛ Shahpasandzadeh et al., 2017). مطالعات تجربی و مدل‌سازی قیاسی دوپلکس‌های فشارشی مرتبط با گسل‌شیش امتداد‌لغز و تشکیل Pop-up‌های طاق‌گون در این نوع دوپلکس‌ها پرداخته و سپس مدل‌های حاصل را با دوپلکس‌های موجود در قاره آمریکا و اروپا مقایسه کردند. ایشان بیان کردند که تشکیل Pop-up‌های طاق‌گون با تمایل به هر دو طرف سامانه گسلی، باعث تشکیل ساختار گل مانند مثبت در این دوپلکس‌ها می‌شود. Gonzalez et al. (2012) دوپلکس‌های امتداد‌لغز موجود در شیلی را مورد علاوه بر مطالعات صورت گرفته در البرز، مطالعات بسیار زیاد و ویژه‌ای نیز با موضوع توسعه دوپلکس‌ها در سامانه‌های امتداد‌لغز صورت گرفته که در این بخش به تعدادی از آن‌ها اشاره می‌شود. McClay and Bonora (2001) به

بررسی هندسی چین‌ها

در منطقه مورد مطالعه دو چین بزرگ مقیاس (شکل‌های ۲ و ۳) با نامه‌های تاقدیس و ناویدیس تپال و همچنین چندین چین کوچک مقیاس (شکل ۴) مورد بررسی قرار گرفت. با ترسیم داده‌های صحرایی در شبکه همساحت برای ناویدیس تپال، زاویه بین یالی (γ) ۸۱ درجه و زاویه چین خوردگی (φ) ۹۹ درجه به دست آمد که بیانگر آن است که چین در طبقه‌بندی فلوتی (۱۹۶۴) جزو گروه چین‌های باز قرار می‌گیرد. همچنین محور چین برابر با ۳۶°۰۶' و سطح محوری برابر با N66E/83NW است. همچنین بر اساس نحوه قرارگیری قطب صفحات (Ramsay and Huber, 1987) که بیش از ۹۰ درصد قطب‌ها در فاصله کمتر از ۲۰ درجه از صفحه حرکتی قرار گرفته‌اند، چین از نوع نیمه‌استوانه‌ای است. چین‌های رخ داده در داخل تناب و لایه‌های سخت و نرم، بسته به میزان لایه‌های سخت و نرم نسبت به هم، عمدتاً تحت کلاس ۱B و ۱C طبقه‌بندی رمزی Hudleston and Treagus, (۱۹۶۴)، Twiss and Moores, 2003؛ Ramsay and 2010؛ Huber, 1987). به دلیل قرارگرفتن ناویدیس تپال در بین تنابوی از لایه‌های سخت و نرم یعنی تناب شیل و ماسه‌سنگ سازند شمشک و مارن و آهک سازند دلیچای، کلاس ۱B طبقه‌بندی رمزی برای این چین محاسبه گردید (شکل ۳-الف). برای تاقدیس تپال نیز زاویه بین یالی (γ) ۷۴ درجه و زاویه چین خوردگی (φ) ۷۴ درجه محاسبه شد که نشان می‌دهد که این چین نیز در طبقه‌بندی فلوتی (۱۹۶۴) در گروه چین‌های باز قرار می‌گیرد. محور تاقدیس با مشخصات ۱۵°۰۵' و سطح محوری با در نظر گرفتن اثر سطح محوری در نقشه برابر با N54E/86NW محاسبه شد. بر اساس نحوه پراکنش قطب‌ها نسبت به صفحه حرکتی، چین از نوع نیمه‌استوانه‌ای و همچنین کلاس ۱C طبقه‌بندی رمزی برای تاقدیس تپال محاسبه شد (شکل ۳-ب).

علاوه بر چین‌های بزرگ مقیاس، چندین چین کوچک مقیاس نیز مورد بررسی قرار گرفت (شکل ۴). چین‌های موجود در منطقه دارای دو روند هستند (شکل ۵) که در بخش خاوری و مرکزی منطقه، موازی با روند گسل شمال

مطالعه قرار داده و عملکرد این ساختارها را به صورت عددی و قیاسی مدل‌سازی نمودند. Curren and Bird (2014) از طریق مدل‌سازی تجربی به مطالعه نقش شکستگی‌های پیشین در عملکرد گسل‌های امتدادلغز پرداخته و بیان کرده که وجود شکستگی‌های پیشین از طریق پراکنش و فرونشاندن برش در میدان تنفس اطراف شکستگی‌ها، بر روی هندسه و عملکرد سیستماتیک گسل‌های امتدادلغز تاثیر می‌گذارد. Iturrieta et al. (2017) به مطالعه و مدل‌سازی عددی سامانه‌های گسلی امتدادلغز مرتبط با فرونشانش مایل در منطقه آند جنوبی پرداخته و با تلفیق دینامیک گسل‌های امتدادلغز با شواهد زمین‌شناسی، لرزه‌ای و ماقمایی، همخوانی مدل‌سازی عددی خود با عملکرد سامانه‌های گسلی موجود در آند جنوبی را به اثبات رساندند.

روش مطالعه

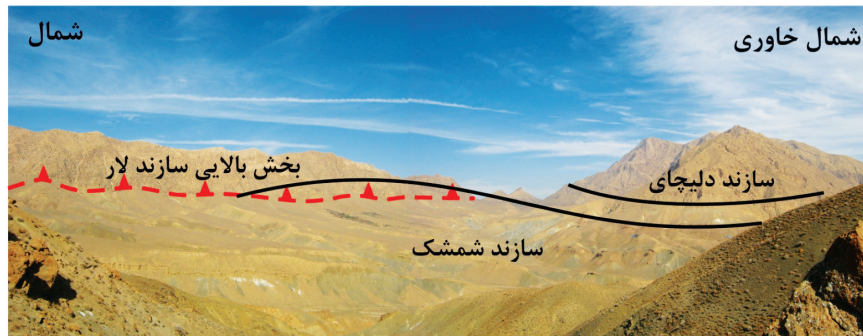
در این پژوهش چین‌ها مورد تحلیل هندسی قرار گرفته و با توجه به اثر سطح محوری اندازه‌گیری شده در عملیات صحرایی، مختصات محور و سطح محوری آن‌ها مشخص شده و همچنین بر اساس خصوصیات ظاهری چین، محل قرارگیری این چین‌ها در طبقه‌بندی‌های فلوتی (۱۹۶۴) و رمزی (۱۹۸۷) مشخص شد. در ادامه به‌منظور تحلیل هندسی و حرکتی گسل‌ها، نمودار گل‌سرخی از امتداد شکستگی‌ها ترسیم و به‌وسیله روش Marrett and Allmendinger (1990) محور فشارش محاسبه شد. در روش فوق پس از ترسیم صفحه گسل به همراه خشلغزها، قطب گسل ترسیم می‌شود. با قرار دادن خشلغز و قطب صفحه گسل بر روی یک دایره عظیمه، صفحه حرکتی برای گسل محاسبه و در نهایت با حرکت ۴۵ درجه‌ای در جهت و خلاف جهت بردار حرکتی هر گسل، به ترتیب محور فشارش و محور کشش محاسبه می‌شود.

بررسی ساختارها

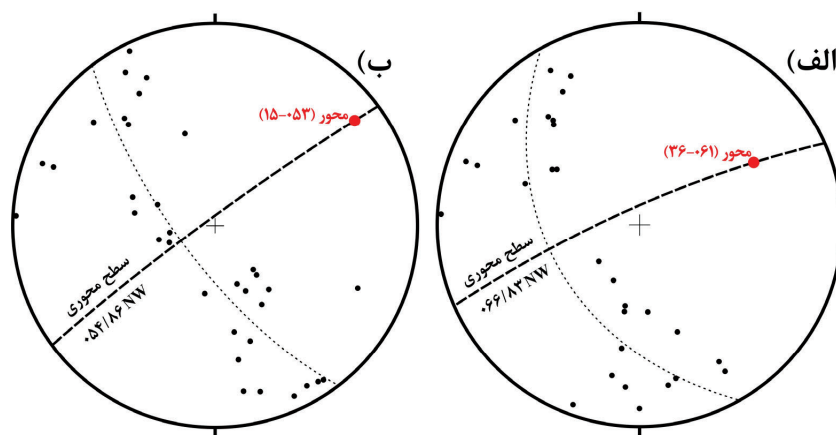
در منطقه دو روند اصلی برای چین‌ها و دو روند اصلی برای گسل‌های اصلی مشاهده شد که در ادامه به تفصیل به آن‌ها پرداخته می‌شود.

این چین‌ها در ارتباط با گسلش معکوس خاوری-باخته تشکیل شده‌اند. لازم به ذکر است که چین‌های ۸ تا ۱۳ در یال تاقدیس تپال اندازه‌گیری شده‌اند. بطورکلی نتایج مربوط به چین‌ها در جدول ۱ آورده شده است.

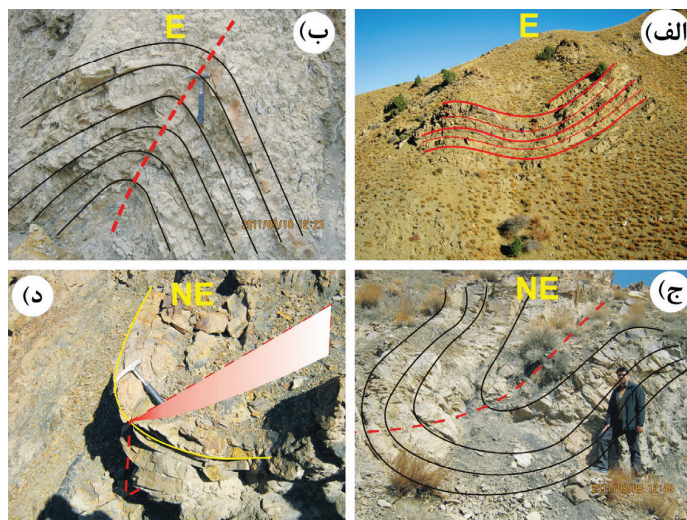
شهرود و در بخش باخته منطقه به صورت خاوری-باخته و همروند با گسل‌های رانده تشکیل شده‌اند. با توجه به این موضوع که چین‌های خاوری-باخته اکثرًا در بخش باخته منطقه، در فرادریواره گسل طزره تشکیل شده و همچنانی همروند با این گسل هستند (شکل ۷)، به نظر می‌رسد که



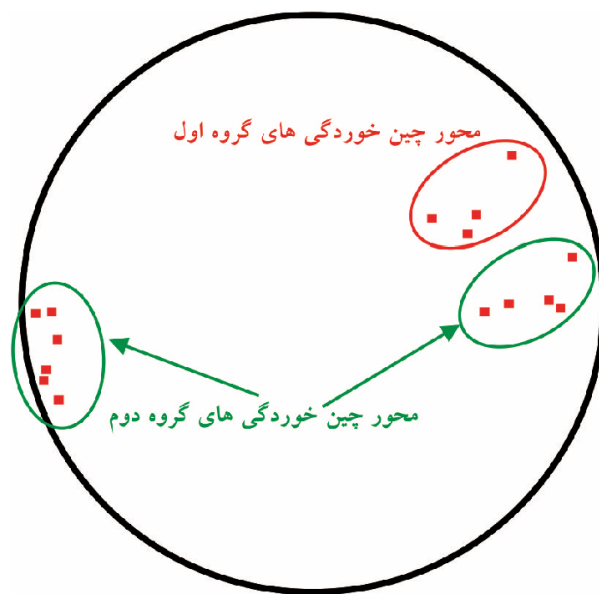
شکل ۲. نمای کلی از تاقدیس و ناویدیس تپال (دید رو به شمال خاوری)



شکل ۳. تصویر استریوگرافی قطب صفحات لایه‌بندی به همراه محور و سطح محوری، (الف) ناویدیس تپال، (ب) تاقدیس تپال



شکل ۴. چین‌های کوچک مقیاس منطقه مورد مطالعه (حروف زرد رنگ داخل تصاویر نشان‌دهنده جهت دید هستند)



شکل ۵. شکل استریوگرافیک مربوط به محور چین خوردگی‌های منطقه

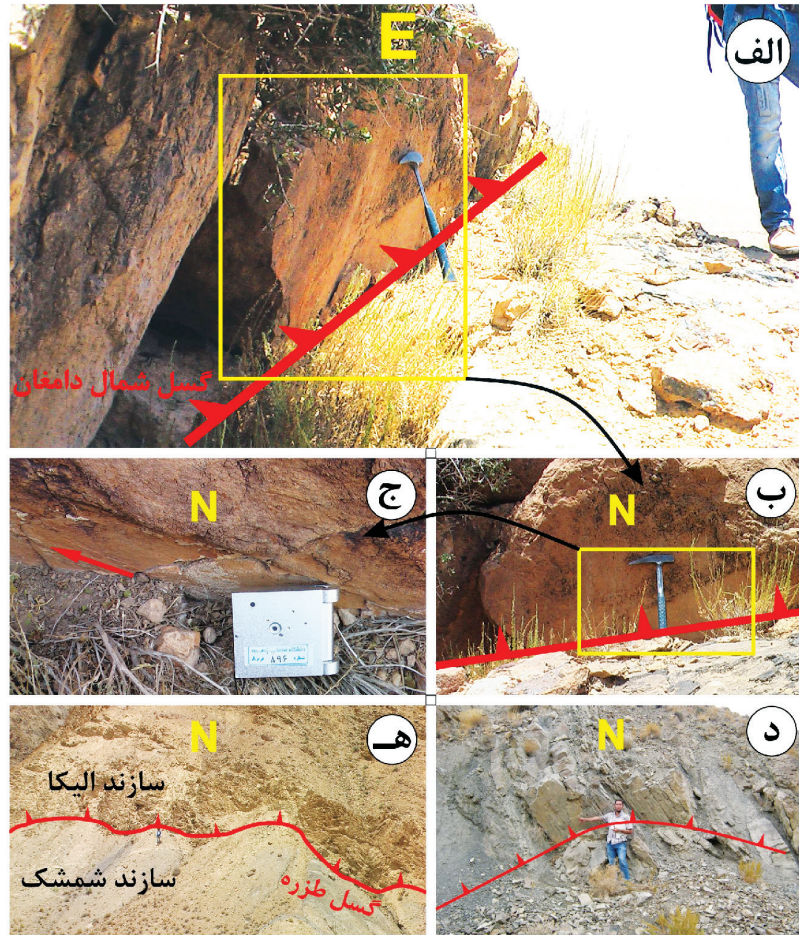
جدول ۱. خصوصیات هندسی محاسبه شده برای چین‌های منطقه

چین	γ	φ	شکل مقطع	محور	سطح محوری	طبقه‌بندی فلوتی	طبقه‌بندی رمزی
تاقدیس تپال	۱۰۶	۷۴	باز	۰۵۳-۱۵	-۰۵۴/۸۶NW	ایستاده با میل ملاجم	۱C
ناآدیس تپال	۹۹	۸۱	باز	۰۶۱-۳۶	-۰۶۶/۸۳NW	ایستاده با میل متوسط	۱B
FO1	۸۷	۹۳	باز	۰۶۶-۴۲	-۰۶۴/۸۷SE	ایستاده با میل متوسط	۱B
FO2	۹۰	۹۰	باز	۰۸۹-۲۰	-۰۹۳/۷۵NE	تمایل زیاد و میل ملاجم	۱B
FO3	۷۴	۱۰۶	باز	۰۹۰-۳۳	-۱۱۷/۵۳NE	تمایل و میل متوسط	۱B
FO4	۶۹	۱۱۱	بسسه	۰۹۱-۱۶	-۰۹۸/۶۵NE	تمایل زیاد و میل ملاجم	۱B
FO5	۶۰	۱۲۰	بسسه	۰۹۴-۴۱	-۱۲۲/۶۰NE	تمایل و میل متوسط	۳
FO6	۴۸	۱۳۲	بسسه	۲۴۹-۰۷	-۰۶۶/۶۶NW	نیمه افقی با تمایل زیاد و یک یال برگشته	۱B
FO7	۴۳	۱۳۷	بسسه	۰۵۴-۴۸	-۰۶۸/۷۸NW	تمایل زیاد، میل متوسط	۱C
FO8	۸۵	۹۵	باز	۰۸۰-۱۰	-۰۸۱/۸۵NW	ایستاده نیمه افقی	۱B
FO9	۴۲	۱۳۸	بسسه	۲۶۸-۰۵	-۰۸۷/۸۳NW	ایستاده نیمه افقی	۱B
FO10	۵۳	۱۲۷	بسسه	۲۵۶-۰۶	-۰۷۶/۸۵NW	ایستاده نیمه افقی	۱B
FO11	۱۱۹	۶۱	باز	۲۶۸-۱۱	-۰۸۷/۸۸NW	ایستاده با میل ملاجم	۱B
FO12	۹۰	۹۰	باز	۲۵۴-۰۴	-۰۷۴/۸۸SE	ایستاده نیمه افقی	۱B
FO13	۸۵	۹۵	باز	۲۶۲-۱۲	-۰۸۲/۸۸SE	ایستاده با میل ملاجم	۱B

بررسی هندسی گسل‌ها

چپبر با کمی مؤلفه معکوس هستند. گروه دوم شامل گسل‌های با امتداد خاوری-باختری بوده و از جنوب به شمال شامل گسل دامغان، گسل رانده شمال دامغان و گسل طزره هستند (شکل ۱). این گروه از گسل‌ها تمامًا دارای سازوکار شامل گسل شمال شاهروド و گسل آستانه (شکل ۱) می‌باشد که هر دوی این گسل‌ها دارای شبیب به سمت شمال و سازوکار می‌باشند (شکل ۶). لازم به ذکر است که تمام این گسل‌های

گسل‌های اصلی موجود در منطقه به دو گروه تقسیم می‌شوند که مانند چین‌ها دارای دو روند اصلی می‌باشند. گروه اول گسل‌های با امتداد شمال خاوری-جنوب باختری و امتداد N۰۶۰-۰۷۰ هستند. این گسل‌ها از خاور به باختر شامل گسل شمال شاهرود و گسل آستانه (شکل ۱) می‌باشند که هر دوی این گسل‌ها دارای شبیب به سمت شمال و سازوکار

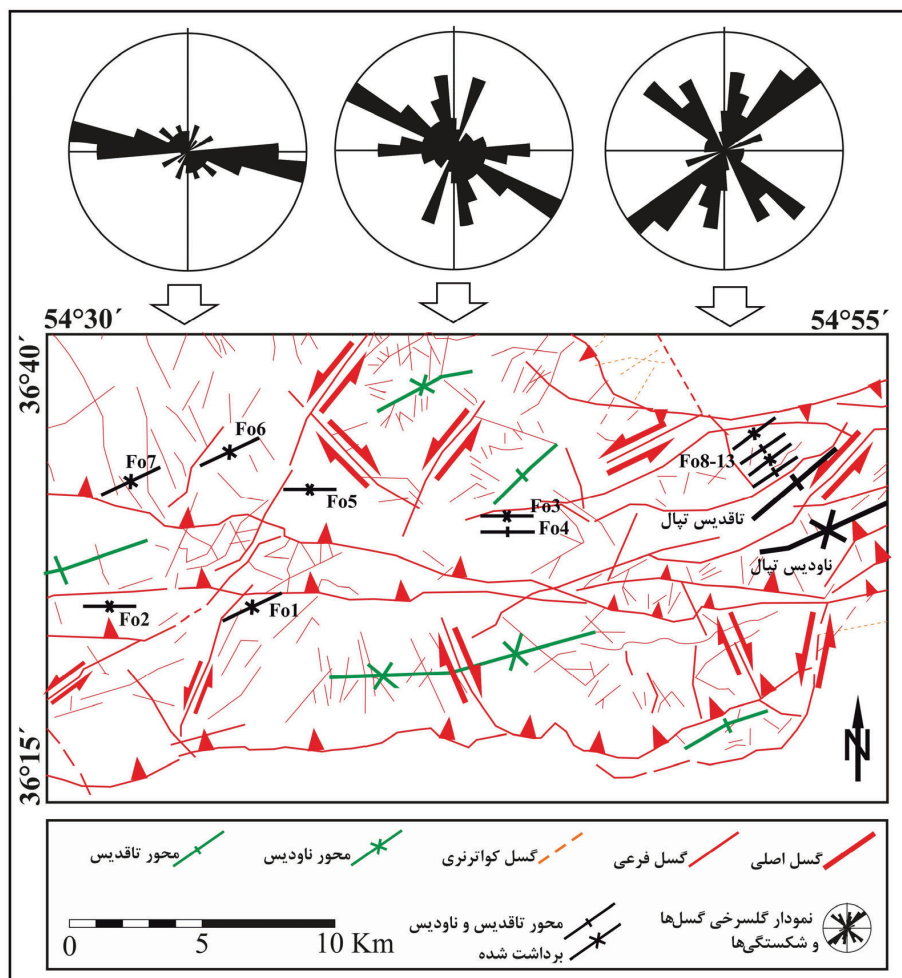


شکل ۶. نمایی از گسل‌های منطقه. (الف) گسل رانده شمال دامغان (مستطیل زرد نشان دهنده محل تصویر ب می باشد)، (ب و ج) نمای دیگر گسل شمال دامغان (مستطیل زرد داخل تصویر ب نشان دهنده محل تصویر ج می باشد)، (د) راندگی خاوری-باختنی با شبیب رو به شمال واقع در ماسه‌ستگ‌های شمشک، (ه) نمایی از گسل طزره که سازند الیکا را بر روی سازند شمشک رانده است (حروف زرد داخل تصاویر نشان دهنده جهت دید می باشند)

تعداد در رده دوم قرار دارند، مربوط به شکستگی‌های نوع R می‌باشند. پس از این دو گروه امتداد ۱۶۵-۱۷۵ دارای بیشترین تکرار بوده که مربوط به شکستگی‌های کششی نوع T و در نهایت امتداد ۸۵-۹۰ مربوط به گسل‌های فشاری بوده و دارای سازوکار معکوس با کمی مؤلفه چپ بر می‌باشند (شکل ۸). لازم به ذکر است که نحوه آرایش گسل‌ها در منطقه مورد مطالعه به شکلی است که در بخش خاوری منطقه گسل‌ها دارای روند شمال خاوری-جنوب باختり و به عبارت دیگر هم‌روند با گسل شمال شاهروд بوده که این آرایش در بخش باختری منطقه کاملاً به صورت خاوری-پااختری می‌باشند (شکل ۷).

خاوری-باختری به تبعیت از گسل‌های منشاء خود (گسل‌های شمال شاهروド و آستانه) شبیه به سمت شمال داشته و باعث حرکت رو به جنوب تشکیلات موجود شده‌اند؛ بهنحوی که در منطقه تشکیلات مربوط به پالئوزوئیک و مژوزوئیک بر روی رسوبات عهد حاضر قرار گرفته‌اند.

با توجه به داده‌های به دست آمده برای شکستگی‌های منطقه (شکل ۷)، بیشترین فراوانی شکستگی‌ها مربوط به امتداد ۱۲۰-۱۲۵ است که اکثرًا دارای سازوکار امتدادلغز راستبر با کمی مؤلفه معکوس بوده که با توجه به امتداد گسل‌های شمال شاهروド و آستانه، این ساختارها مربوط به شکستگی‌های نوع R می‌باشند. همچنین امتداد ۰۲۰-۰۱۵ با سازوکار امتدادلغز چپبر و مؤلفه معکوس که از نظر

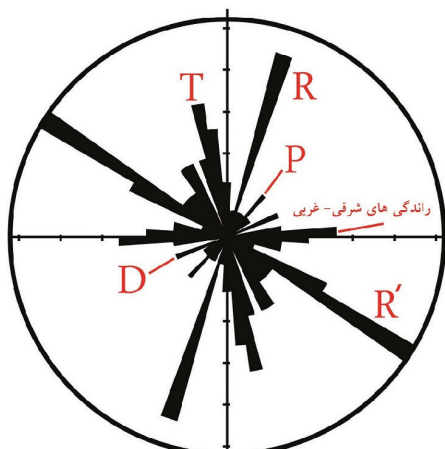


شکل ۷. نقشه ساختاری منطقه مورد مطالعه به همراه نمودار گلسربخی مربوط به ۷۴ گسل برداشت شده در منطقه مورد مطالعه. نمودارهای گلسرخی از راست به چپ به ترتیب مربوط به سه بخش خاوری، مرکزی و باختری منطقه مورد مطالعه می‌باشند. (همچنین لازم به ذکر است که محل چین خودگی‌های برداشت شده و نام هر یک از این چین‌ها در نقشه مشخص شده است)

بررسی حرکتی گسل‌ها

تحلیل حرکتی گسل‌ها و محاسبه محورهای فشارش و کشش در منطقه، با استفاده از شواهد لغزشی موجود بر روی صفحه گسل به روش Marrett and Allmendinger (1990) انجام شد (شکل ۹). بر اساس این شکل می‌توان به طور قطعی به شمالی-جنوبی بودن روند محور فشارش حاکم بر منطقه پی برد. بر طبق تحلیل‌های انجام شده، محور اصلی فشارش دارای امتداد ۳۵۵N می‌باشد (شکل ۹) که این محور فشارش شمالی-جنوبی عامل ایجاد گسل‌های معکوس و راندگی‌های متعدد موجود در منطقه می‌باشد.

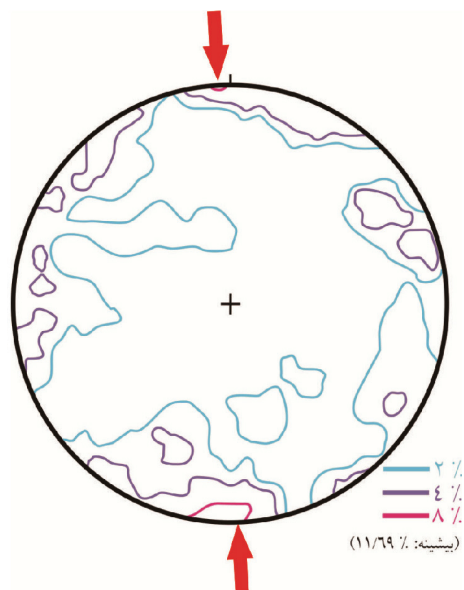
شکل ۸. نمودار گلسرخی مربوط به ۷۴ گسل برداشت شده در منطقه مورد مطالعه. (لازم به ذکر است که این نمودار گلسرخی بر مبنای فواصل ۵ درجه‌ای ترسیم شده است)



به ذکر است این دسته از چین‌ها که بیشتر در بخش خاوری منطقه رخنمون دارند، از روند کلی گسل‌های اصلی سامانه گسلی شاهروд (Hollingsworth et al., 2010؛ Nemati و همکاران، ۱۳۹۱) تبعیت می‌کنند و در پی کوتاه‌شدنی البرز خاوری در نتیجه فشارش شمالی-جنوبی و همچنین عملکرد گسل‌های سامانه گسلی شاهرود در پی برخورد صفحه عربی به صفحه اوراسیا ایجاد شده‌اند (Allen et al., 2003a).

دسته دوم نیز چین‌های مرتبط با گسل‌شی هستند که در بخش مرکزی و باختり منطقه و در مقیاسی کوچک ظاهر شده‌اند و دارای روند خاوری-باختري و میل ملایمی به هر دو سمت خاور و باختر می‌باشند. در مورد دلیل تمایز دو گروه چین فوق الذکر و ترتیب سنی آن‌ها می‌توان بیان داشت که چین‌های با روند شمال خاوری-جنوب باختري در نتیجه عملکرد سامانه گسلی شاهرود تشکیل شده و سپس با تشکیل گسل‌های رانده خاوری-باختري در دو طرف خمیدگی سامانه گسلی شاهرود (شکل‌های ۱ و ۱۰)، چین‌های خاوری-باختري در فرآديواره این گسل‌های جدید تشکیل شدند.

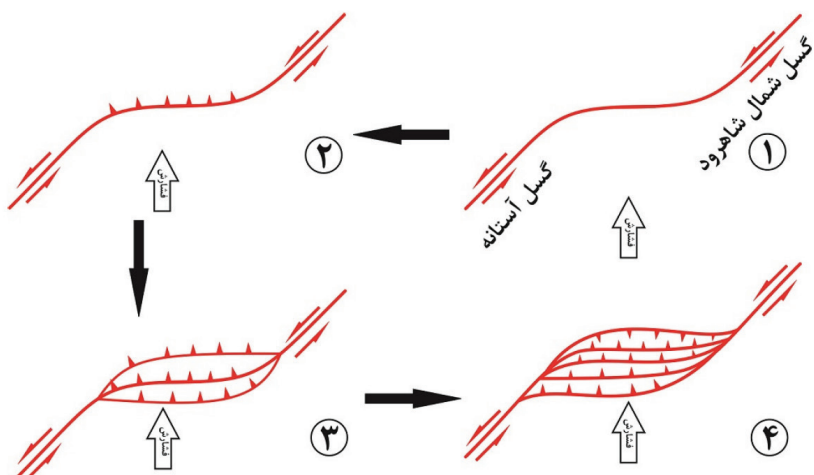
بنابر وجود دو روند شمال خاوری-جنوب باختري در خاور و خاوری-باختري در باختري منطقه (شکل ۷) و با توجه به این موضوع که گسل‌های شمال شاهرود و آستانه هر دو متعلق به یک سامانه گسلی می‌باشند، با عملکرد این دو گسل‌های شرایطی پیش آمد که در دو طرف بخش خمیده بین دو گسل، گسل‌های خاوری-باختري تشکیل و با تشکیل بیشتر گسل‌های خاوری باختري، منطقه نمای فلسفی به خود گرفته است (شکل ۱۰).



شکل ۹. نمودار همتراز به دست آمده برای محور بیشترین فشارش در منطقه بر اساس روش مارت و المندینگر (۱۹۹۰) (لازم به ذکر است که نمودار همتراز فوق بر اساس داده‌های ۷۴ گسل برداشت شده در داخل منطقه ترسیم شده است)

بحث

بررسی و تحلیل چین‌های منطقه حاکی از آن است که در این منطقه دو گروه چین وجود دارد (شکل ۵). دسته اول که شامل چین‌های بزرگ مقیاس (تاقدیس و ناوادیس تپال) به همراه پارازیت چین‌های مربوط به تاقدیس تپال هستند از نظر سنی قدیمی‌تر بوده، دارای روند شمال خاوری-جنوب باختري با تمایل (Vergence) کمی به سمت جنوب می‌باشند و میل ملایمی به سمت شمال خاوری دارند. لازم



شکل ۱۰. طرح شماتیک از مراحل تکامل گسل‌های شمال شاهرود و آستانه و تشکیل دوپلکس دهملا

همچنین با آغاز حرکت رو به باختر حوضه خزر جنوبی نسبت به ایران در زمان پلیوسن، جهت بزرگترین محور تنش ناحیه‌ای ۵۱ از حالت شمالی-جنوبی به حالت شمال خاوری-جنوب باختری تغییر روند داده و این سازوکار تا به امروز ادامه داشته است (Golonka, 2007). لازم به ذکر است که، در مطالعات انجام شده پیشین در البرز، جایگیری گسل‌های رانده توسط تکتونیک نازک پوسته توجیه شده است (رجیمی، ۱۳۸۱). با توجه به مشاهدات انجام شده شرایط وجود چنین سازوکاری به خوبی در منطقه قابل مشاهده بوده که تعدادی از این شرایط شامل توسعه راندگی‌ها در میان سنگ‌های رسوبی، نبود بیرون‌زدگی بی‌سنگی و ضخامت ورقه‌های راندگی می‌باشند. حال با در نظر گرفتن نکات فوق، یعنی وجود گسل‌های امتدادلغز چپبر با جابه‌جایی زیاد و به صورت راستپله و نیز وجود راندگی‌های متعدد موازی با هم که حالت فلسفی به منطقه داده‌اند (شکل ۱۱)، به نظر می‌رسد که منطقه به صورت یک دوپلکس مرتبط با گسل‌های امتدادلغز (Woodcock and Fischer, 1986) باشد و به دلیل کوتاه‌شدنی عرضی و بالاًمدگی منطقه (ضخیم‌شدنی)، این دوپلکس در گروه دوپلکس‌های فشارشی قرار می‌گیرد. شرایط ایجاد دوپلکس‌های فشارشی شامل (۱) دوپلکس شدنی در قطع شدنی‌ها و (۲) دوپلکس شدنی مستقیم (مرتبط با گسل‌های ریدل یک گسل بزرگ مقیاس) است (Woodcock and Fischer, 1986).

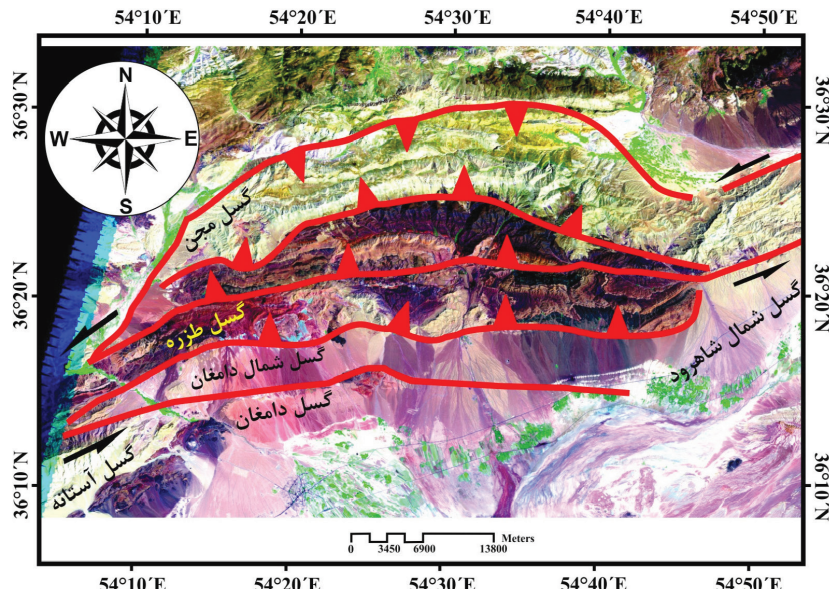
با توجه به تعلق گسل‌های شمال شاهروド و آستانه به یک سامانه گسلی (Hollingsworth et al., 2010)، و این‌که احتمالاً این دو گسل، گسل‌های همکاران، (۱۳۹۱)، رده اولی حاشیه جنوبی کمربند چین و گسل خورده البرز رده اولی حاشیه جنوبی کمربند چین و گسل خورده البرز می‌باشند، و نیز رشد به سمت خارج فلس‌های به وجود آمده توسط راندگی‌های خاوری-باختری، و همچنین وجود دوپلکس فشارشی چاشم در بین گسل‌های فیروزکوه و آستانه (باقری و همکاران، ۱۳۸۵) (شکل ۱) در بخش جنوب‌باختری دوپلکس دهملا، می‌توان پیشنهاد نمود که دوپلکس موجود در منطقه از نظر ژئوکری مرتب با دوپلکس شدنی در خمش‌های محصور شده باشد. دوپلکس شدنی

وجود تعداد زیادی از گسل‌های خاوری-باختری با سازوکار معکوس و رانده و موازی بودن روند چین‌های موجود با امتداد راندگی‌های فوق‌الذکر و همچنین فراخاست منطقه، همگی حاکی از فشارشی بودن رژیم حاکم در داخل منطقه و نیز روند شمالی-جنوبی (شکل ۹) این رژیم فشارشی می‌باشد. همچنین گسل‌های شمال شاهروド و آستانه دارای سازوکار امتدادلغز چپبر بوده که به صورت خشم راستپله نسبت به هم قرار گرفته‌اند. نکته مهم در مورد عملکرد چپبر گسل‌های آستانه و شمال شاهرود میزان جابجایی آن‌ها است که سازنده‌های پالوزوئیک را در حدود ۳۰ کیلومتر جابجا کرده است (شکل ۱).

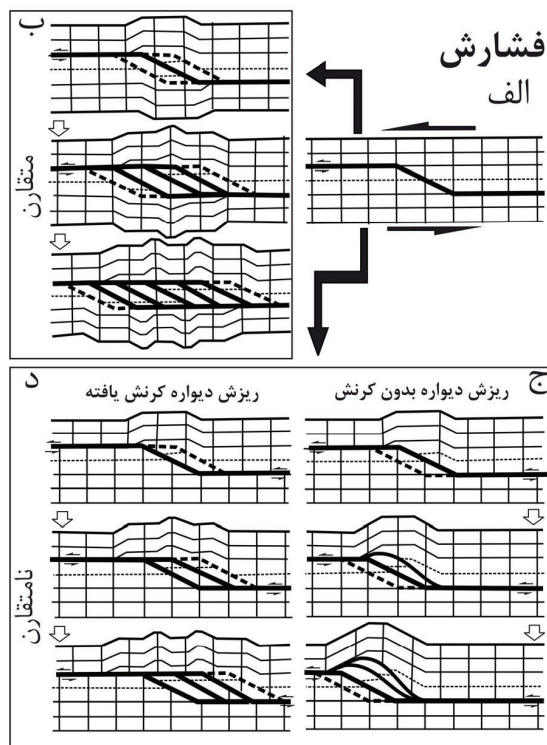
در ادامه و قبل از ارائه مدل برای منطقه لازم است تا نگاهی اجمالی به تاریخ زمین‌ساختی البرز داشت. البرز بر اثر عملکرد دو نسل راندگی و چین‌خوردگی به سن پیش از ژوراسیک میانی (کوهزادی اوسیمیرین) با خصوصیات شکل‌پذیر و سپس به سن سنوزوئیک (در ارتباط با کوهزادی آلبی) و با ویژگی‌های شکننده شکل گرفت (Alavi, 1996). پس از آن منطقه مورد مطالعه در مرز اوسن بالایی-الیگوسن (فاز کوهزادی پیرنه) که در اثر همگرایی شمالی-جنوبی پلیت‌های عربی و اوراسیا به وجود آمده بود، از آب خارج شده (آقانباتی، ۱۳۸۳) و پس از آن هرگز دریا در البرز پیش روی نکرده است؛ نبود رسوبات دریایی برای این دوران در منطقه و نمایش خصوصیات رسوبات قاره‌ای برای نهشته‌های به سن نئوژن و کواترنری را می‌توان شاهدی برای توضیحات فوق دانست. از نظر دانشمندان تغییر شکل فشاری سنوزوئیک در البرز از میوسن و با اولین مرحله برخورد صفحه‌های عربی و اوراسیا آغاز شد (Allen et al., 2003a, b). در این زمان که مصادف با فاز ساوین کوهزادی آلبی بوده، جهت‌گیری بزرگترین محور تنش محلی ۵۱ برای البرز به صورت شمالی-جنوبی بوده و البرز تحت تأثیر استرین فشارشی قرار داشته است. بنابراین با توجه به مطالعه بیان شده ساختارهای فشاری موجود در منطقه یعنی چین‌ها و گسل‌های رانده، باید در این مرحله از دگرشکلی البرز تشکیل شده باشند. در ادامه روند دگرشکلی در منطقه و با غلبه تنش ایجاد شده از طرف صفحه عربی بر خردۀ قاره‌های صفحه اوراسیا و

رشد کرده (در هر دو طرف خمیدگی تحت فشار گسل‌های معکوس تشکیل می‌شود) و حالت فلزی به منطقه می‌دهند (Woodcock and Fischer, 1986) (شکل ۱۲).

در خمش‌های محصور شده بدین صورت است که در نتیجه عملکرد گسل در طول خمش، گسل‌های معکوس (به صورت موازی با بخش خمیده گسل) به سمت خارج دوپلکس



شکل ۱۱. تصویر ماهواره‌ای ETM+7 از شکل کلی دوپلکس دهملا. همچنین، نحوه قرارگیری مناطق امتدادلغز (SZ) و ترافشارشی (TPZ) را در این تصویر مشاهده می‌کنید



شکل ۱۲. نحوه تکامل یک دوپلکس فشارشی در خمش محصور شده. (الف) یک سامانه امتدادلغز چپر قبل از عملکرد در خمش، (ب) عملکرد متقارن سامانه چپر، (ج) و (د) عملکرد نامتقارن سامانه چپر (اقتباس و تصویح از Woodcock and Fischer 1986)

همچنان با رشد به سمت خارج فلسفه‌ای رانده، در حال ادامه باشد.

سپاسگزاری

بدین وسیله از داوران محترم که با پیشنهادهای ارزنده و علمی خود، ما را در افزایش کیفیت مقاله یاری کردند صمیمانه سپاسگزاری می‌شود. همچنین از سردبیر محترم مجله زمین‌شناسی ایران به خاطر خدمات بی‌شائبه تشکر و قدردانی می‌شود.

منابع

- آقانباتی، س. ع.، ۱۳۸۳. زمین‌شناسی ایران. انتشارات سازمان زمین‌شناسی و اکتشافات معدنی ایران، ۶۰.
- باقری، م.، قرشی، م. و مهدیزاده، س.، ۱۳۸۵. تحلیل ساختاری دوپلکس امتدادلغز چاشم در خاور منطقه فیروزکوه. *فصلنامه علمی پژوهشی علوم زمین*، شماره ۶۰. ۱۱۵-۹۲
- رحیمی، ب.، ۱۳۸۱. مطالعات ساختاری رشته‌کوه البرز در شمال دامغان. پایان‌نامه دکتری، دانشگاه شهید پهشتی. ۱۹۵.
- نعمتی، م.، هتسفلد، د.، قیطانجی، م.، طالبیان، م.، میرزایی، ن. و سدیدخوی، ا.، ۱۳۹۱. لرزه‌زمین‌ساخت البرز میانی-خاوری و دامنه جنوبی آن با نگرشی بر زمین‌لرزه $Mw=5/7$ جنوب دامغان. *فصلنامه علمی و پژوهشی علوم زمین*، ۸۶، ۹۸-۸۷.
- Alavi, M., 1996. Tectonostratigraphic synthesis and structural style of the Alborz Mountain system in northern Iran. *Journal of Geodynamics*, 21, 1-33.
- Allen, M.B., Ghassemi, M.R., Shahrabi, M. and Qorashi, M., 2003a. Accommodation of late Cenozoic oblique shortening in the Alborz range, northern Iran. *Journal of Structural Geology*, 25, 5, 659-672.
- Allen, M. B., Vincent, S. J., Alsop, G. I., Ismail-zadeh, A. and Flecker, R., 2003b. Late Cenozoic deformation in the South Caspian re-

بدین ترتیب بر اساس مدل Woodcock and Fischer (1986)، گسل‌های آستانه و شمال شاهروд که با خش‌های متفاوت از یک گسل (گسل جنوب البرز) هستند با ادامه عملکرد خود (حرکت چپبر در خمس راست پله)، شرایطی پیش آورده‌اند تا با ایجاد فشارش در منطقه خمین، گسل‌های طزره، شمال دامغان، دامغان و احتمالاً گسل مجن در بخش شمالی‌تر منطقه به وجود آمده و ساختار دوپلکس دهملا را ایجاد کنند. همچنین لازم به ذکر است که با توجه به قرار گرفتن رسوبات سنوزوئیک در کنار سازندهای با سن پالئوزوئیک در مرز جنوبی دوپلکس، این ساختار در گروه دوپلکس‌های هم‌ریشه (Krantz, 1995) قرار می‌گیرد.

نتیجه‌گیری

منطقه مورد مطالعه دارای دو روند اصلی برای تمام ساختارها می‌باشد، روند شمال خاوری-جنوب باخته‌ی که ساختارهای بزرگ مقیاس منطقه دارای این روند می‌باشند و روند خاوری-باخته‌ی که ساختارهای میان مقیاس و کوچک مقیاس در این روند تشکیل شده‌اند. وجود دو روند برای گسل‌ها و چین‌های موجود در منطقه و نیز نحوه جهت‌گیری گسل‌ها و چین‌خوردهای نسبت به محور فشارش، نشان می‌دهد که این منطقه از نظر زمین‌ساختی در گروه مناطق ترافشارشی قرار می‌گیرد. همچنین چین‌های تپال در این منطقه با نمایش تمایل (vergence) کمی به سمت جنوب خاوری با الگوی گل‌مانند ارائه شده برای البرز هماهنگی دارند.

روند تکاملی منطقه به صورتی بوده که عملکرد گسل‌های چپبر که به صورت راست‌پله نسبت به هم قرار گرفته بودند (گسل‌های شمال شاهرود و آستانه)، باعث تشکیل یک خمین فشارنده در بین این دو گسل شده است. بنابراین با ادامه عملکرد چپبر دو گسل آستانه و شمال شاهرود، گسل‌های معکوس با امتداد خاوری-باخته در بین این دو گسل رشد کرده و همزمان با فراخواست منطقه مورد مطالعه، به منطقه حالت فلسی داده و دوپلکس دهملا شکل گرفته است. همچنین با توجه به فعالیت زمین‌ساختی فعلی منطقه، به نظر می‌رسد که تکامل دوپلکس مورد نظر

- gion: effects of a rigid basement block within a collision zone. *Tectonophysics*, 366, 223-239.
- Axen, G.J., Lam, P.S., Grove, M., Stockli, D.F. and Hassanzadeh, J., 2001. Exhumation of the west-central Alborz Mountains, Iran, Caspian subsidence, and collision-related tectonics. *Geological Society of America*, 29, 559-562.
 - Curren, I.S. and Bird, P., 2014. Formation and suppression of strike-slip fault systems. *Pure and Applied Geophysics*, 171, 11, 2899-2918.
 - Fleuty, M. J., 1964. The description of Folds. *Geological Association Proceeding*, 75, 461-492.
 - Ghavidel-Syooki, M., 2006. Palaeostratigraphy and Palaeogeography of the cambro-ordovician strata in the southwest of Shahrood city (kuh-e-Kharbash, near Deh-molla), central Alborz range, northern Iran. *Review of Palaeobotany and Paleontology*, 136, 81-95.
 - Golonka, J., 2007. Geodynamic Evolution of the south Caspian Basin., in P. O. Yilmaz and G. H. Isaksen editors, Oil and Gas of the Greater Caspian area. AAPG Studies in Geology, 55, 17-41.
 - González, D., Pinto, L., Peña, M. and Arriagada, C., 2012. 3D deformation in strike-slip systems: Analogue modelling and numerical restoration. *Andean Geology*, 39, 2, 295-316.
 - Guest, B., Axen, G.J., Lam, P.S. and Hassanzadeh, J., 2006. Late Cenozoic shortening in the west-central Alborz Mountains, northern Iran, by combined conjugate strike-slip and thin-skinned deformation. *Geosphere*, 2, 35-52.
 - Guest, B., Stockli, D. f., Grove, M., Axen, G.J., Lam, P.S. and Hassanzadeh, J., 2006. Thermal histories from the central Alborz Mountains, northern Iran: Implications for the spatial and temporal distribution of deformation in northern Iran. *Geological Society of America*, 118, 1507-1521.
 - Hollingsworth, J., Jackson, J., Walker, R. and Nazari, H., 2008. Extrusion tectonics and subduction in the eastern South Caspian region since 10 Ma. *Geology*, 36, 763-766.
 - Hollingsworth, J., Nazari, H., Ritz, J.F., Salamat, R., Talebian, M., Bahroudi, A., Walker, R. T., Rizza, M. and Jackson, J., 2010. Active tectonics of the east Alborz Mountains, NE Iran: Rupture of the left-lateral Astaneh fault system during the great 856 A.D. Qumis earthquake. *Journal of Geophysical Research*, 115, B12313
 - Hudleston, P.J. and Treagus, S.H., 2010. Information from folds: A review. *Journal of Structural Geology*, 32, 2042-2071.
 - Iturrieta, P.C., Hurtado, D.E., Cembrano, J. and Stanton-Yonge, A., 2017. States of stress and slip partitioning in a continental scale strike-slip duplex: Tectonic and magmatic implications by means of finite element modeling. *Earth and Planetary Science Letters*, 473, 71-82.
 - Jackson, J., Priestley, K., Allen, M. and Berberian, M., 2002. Active tectonics of the South Caspian Basin. *Geophysical Journal International*, 148, 214-245.
 - Krantz, R.W., 1995. The transpressional strain model applied to strike-slip, oblique-convergent and oblique-divergent deformation. *Journal of Structural Geology*, 18, 1125-1137.
 - Marrett, R. and Allmendinger, R.W., 1990. Kinematic analysis of fault-slip data. *Journal of Structural Geology*, 12, 973-986.
 - McClay, K. and Bonora, M., 2001. Analog models of restraining stepovers in strike-slip fault systems. *The American Association of Petroleum*

- Geologists Bulletin, 85, 233-260.
- Ramsay, J.G. and Huber, M.I., 1987. The Techniques of Modern Structural Geology. Volume 2: Folds and Fractures. London, Academic Press, 391.
 - Şengör, A.M.C., 1990. A new model for the late Paleozoic-Mesozoic tectonic evolution of Iran and implications for Oman, in The Geology and tectonics of the Oman region. Geological Society of London. Special Publication, 49, 797-831.
 - Shahpasandzadeh, M., Koyi, H. and Nilforoushan, F., 2017. The significance of switch in convergence direction in the Alborz Mountains, northern Iran: Insights from scaled analogue modeling. Interpretation, 5, 1, SD81-SD98.
 - Stöcklin, J., 1968. Structural history and tectonics of Iran: A review. American Association of Petroleum Geologists Bulletin, 52, 1229-1258.
 - Stöcklin, J., 1974 .Possible ancient continental Margins in Iran. In: The Geology of Continental margins. Springer, 873-887.
 - Twiss, R. J. and Moores, E. M., 2003. Structural Geology. Second Edition. New York, W. H. Freeman and Company. 532 .
 - Vernant, P., Nilforoushan, F., Chery, J., Bayer, R., Djamour, Y., Masson, F., Nankali, H., Ritz, J.-F., Sedighi, M. and Tavakoli, F., 2004. Deciphering oblique shortening of Central Alborz in Iran using geodetic data. Earth and Planetary Science Letters, 223, 177-185.
 - Vernant, P., Nilforoushan, F., Hatzfeld, D., Abassi, M., Vigny, C., Masson, F., Nankali, H., Martinod, J., Ashtiani, A., Bayer, R., Tavakoli, F. and Chéry, J., 2004. Contemporary crustal deformation and plate kinematics in Middle East constrained by GPS measurements in Iran and northern Oman. Geophysics Journal International, 157, 381-398.
 - Woodcock, N.H. and Fischer, M., 1986. Strike-slip duplexes. Journal of Structural Geology, 8, 725-735.
 - Zanchi, A., Berra, F., Mattei, M., Ghassemi, M. R. and Sabouri, J., 2006. Inversion tectonics in central Alborz, Iran. Journal of Structural Geology, 28, 2023-2037.